

九州大学 工学部 正員 平野宗夫
 “ 大学院 学生員 川延正敏
 “ 工学部 “ ○佐藤浩志

1. まえがき

拡幅を伴う流路の横断方向の変化は、河床砂が流れ方向だけでなく、横断方向にも移動することによって、生ずると考えられるが、それについてとは、従来ほとんど研究されていない。本報では、この横断方向への砂れきの移動現象に対する理解を深める目的で、混合砂による流路拡幅の実験を行ない、横断方向の河床砂のふるい分け作用について考察した。

2. 実験装置および方法

実験に用いた水路は長さ4m、幅25cmのアクリライト製可変勾配水路で、水路に一定勾配で砂を敷き、その中央にみを握って通水した。実験に使用した砂は、中央粒径 $d_{50} = 1.000 \text{ mm}$ 、標準偏差 $\sigma_d = \sqrt{d_{84}/d_{16}} = 2.43$ の混合砂で、その粒度分布は図-2に示されている。適当な時間一定流量を通水した後、水を止め排水し、河床の横断形状をポイントゲージで測定した。また河床表層の砂を、幅3cm、長さ5~10cm、厚さ0.3cm程度採取して乾燥した後、粒度分析を行なった。これらの測定は、流水方向の変化が小さいとみられる中流域で行なった。

3. 実験結果

図-1より、側方から浸食された砂が中央部に堆積したことがあがえる。次に図-2によれば、河床砂は流路の中央部で粗く、その両側で細くなつてあり、横方向にふるい分けが生じていることを示している。

4. ふるい分け作用の検討

河床砂のふるい分け作用は、流砂量の粒径による相異に起因する。

粒径別流砂量は次式で与えられる。¹⁾

$$\frac{dQ}{di} = 6.6K \frac{U_*^2}{(\rho/\rho_0 - 1) g d_i} f\left(\frac{U_* c_i^2}{U_*^2}\right) \dots (1)$$

ここに、 dQ/di および f は、それぞれ粒径 d_i の砂れきが流砂中および河床砂れき中に占める割合、即ち単位幅当たりの流砂量、 U_* は摩擦速度、 ρ/ρ_0 および c_i はそれぞれ砂れきおよび水の密度、 $U_* c_i^2$ は粒径 d_i の砂れきの限界摩擦速度である。

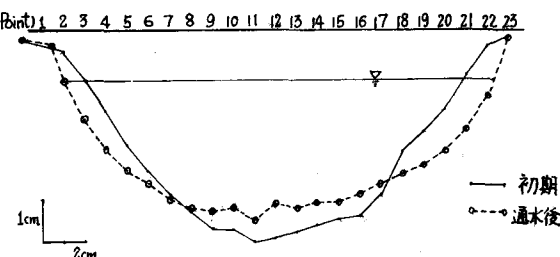


図-1 河床横断形状の変化

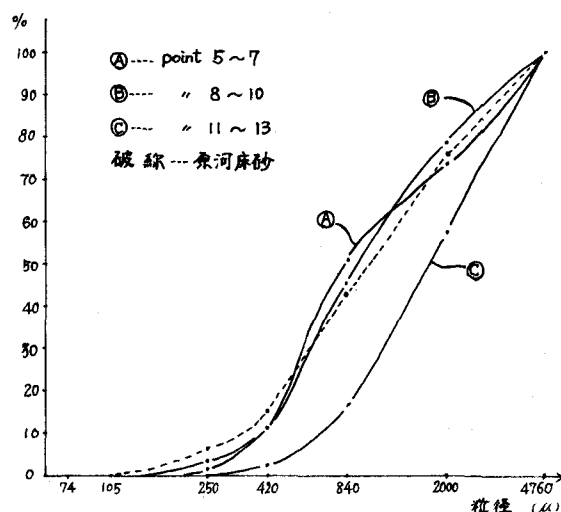


図-2 河床砂の粒度分布の横断方向の変化

次に、斜面上において、図-3の様にm軸およびy軸をとると流砂の連続の条件より次式が得られる。

$$\frac{\partial i_b}{\partial t} = \frac{1}{a} (i_b - i_b) \frac{\partial m}{\partial t} - \frac{g_B}{a(1-\alpha)} \left(\frac{\partial i_B}{\partial x} + \frac{\partial i_B}{\partial y} \right) \quad (2)$$

$$\frac{\partial m}{\partial t} = -\frac{1}{1-\alpha} \left(\frac{\partial g_{Bx}}{\partial x} + \frac{\partial g_{By}}{\partial y} \right) \quad (3)$$

ここに、 α は交換層の厚さ、 i_b は河床砂水きの空隙の割合、 $g_{Bx} = g_B \cos r$ 、 $g_{By} = g_B \sin r$ 、 r はx軸と流砂の方向とのなす角²⁾であり、近似的に次式で与えられる。

$$\tan r = \tan \theta / M \cdot U_* c_i / U_*$$

ここに、 M は砂水きの摩擦係数である。これらの式より、 g_{By} を計算してプロットすると図-4の様になり、そのピークの位置と、図-1に示した横断面の洗掘と堆積の境界の位置はよく一致している。次に、 g_{By} の粒度の、横断方向の変化は、図-5および図-6の様であり、流路の中央へ近づくほど粒度が粗くなっている。つまり、平均より大きい粒径では、 $\partial m / \partial t > 0$ 、小さい粒径では、 $\partial m / \partial t < 0$ となる。従って、河床高の変化($\partial m / \partial t$)の大きい所では平均より大きい粒径は、 $\partial m / \partial t < 0$ 、小さい粒径は、 $\partial m / \partial t > 0$ の傾向、つまり細粒化の傾向があることを示している。また、流路中央部では、平均より大きい粒径は、 $i_B > i_b$ 、小さい粒径は、 $i_B < i_b$ でありかつ $\partial m / \partial t > 0$ であるから式(2)の右辺第1項は、大きい粒径に対して正、小さいものに対して負となる。中央部で河床砂が粗粒化しているのはこのためであろう。

5.まとめ

以上流路の拡幅に伴う横断方向のふるい分け作用について、それを規定する式を導き、若干の計算を行った。その結果、流路の中央部で河床砂の粗粒化が起り、その両側で細粒化が起るという実験結果を説明することことができた。

(参考文献) 1) 平野宗夫: Armouring を伴う河床底干について、土木学会論文報告集、第195号 (1971.11)

2) 平野宗夫: 拡幅を伴う流路変動について、土木学会論文報告集、第210号 (1973.8)

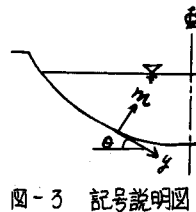


図-3 記号説明図

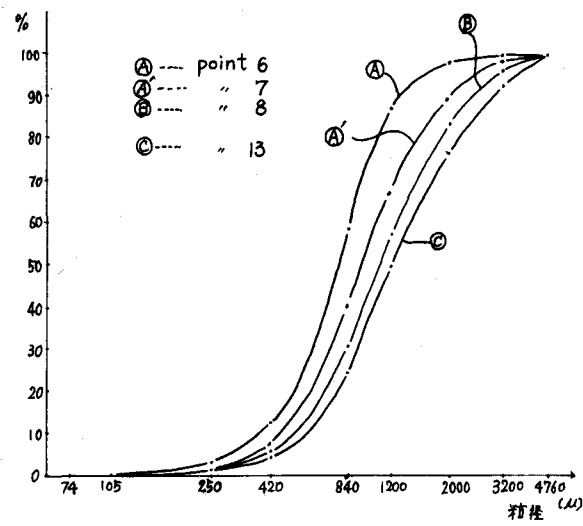
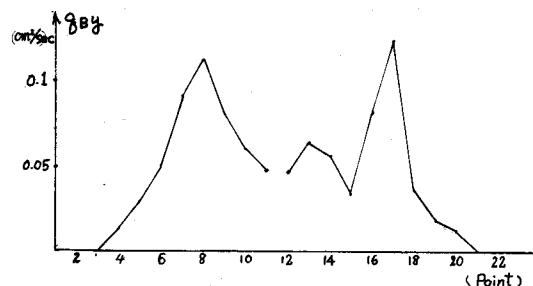


図-5 横方向流砂の粒度分布

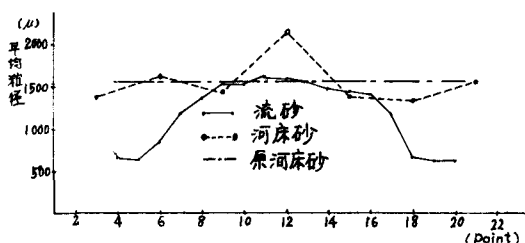


図-6 平均粒径の横断方向の変化